

# 太原市冬季 PM<sub>2.5</sub> 水溶性组分污染特征分析

贾小花<sup>1</sup>,解静芳<sup>1\*</sup>,马翔<sup>2</sup>,邸志东<sup>1</sup>,毋燕妮<sup>1</sup> (1.山西大学环境与资源学院,山西 太原 030006; 2.太原市环境监测中心站,山西 太原 030002)

**摘要:**为了探讨太原市大气阴霾天气的主要污染物PM<sub>2.5</sub>中水溶性组分的污染特征,于2011年12月~2012年1月,采用美国Thermal Anderson公司的大流量PM<sub>2.5</sub>颗粒物采样器进行了PM<sub>2.5</sub>样品采集,共获得样品56个。通过采样前后滤膜的重量变化计算PM<sub>2.5</sub>的质量浓度,并采用微波提取技术,用TOC/TN分析仪研究了水溶性TOC和水溶性TN等的污染特征。研究结果表明,太原市冬季采暖期PM<sub>2.5</sub>污染严重,并且比北京、天津、广州、南京、西安的污染水平都高。对PM<sub>2.5</sub>主要影响因素风速、相对湿度、温度和昼夜变化等的分析表明,风速大小与PM<sub>2.5</sub>的浓度大小呈负相关( $r=-0.4693, \alpha=0.05$ ),相对湿度与PM<sub>2.5</sub>浓度呈正相关( $r=0.4092, \alpha=0.05$ ),而温度与其浓度变化关系不明显;采样期间PM<sub>2.5</sub>浓度的昼夜变化规律不明显,水溶性TOC对PM<sub>2.5</sub>贡献较高,占PM<sub>2.5</sub>总量的13.2%~57.7%;NO<sub>3</sub><sup>-</sup>、SO<sub>4</sub><sup>2-</sup>也与水溶性TOC有重要的相关关系。

**关键词:** PM<sub>2.5</sub>; 水溶性TOC; NO<sub>3</sub><sup>-</sup>和SO<sub>4</sub><sup>2-</sup>; 气象因素

中图分类号: X131.1 文献标识码: A 文章编号: 1000-6923(2013)04-0599-06

**Analysis of water-soluble constituents in winter of PM<sub>2.5</sub> in Taiyuan City.** JIA Xiao-hua<sup>1</sup>, XIE Jing-fang<sup>1\*</sup>, MA Xiang<sup>2</sup>, DI Zhi-dong<sup>1</sup>, WU Yan-ni<sup>1</sup> (1. College of Environment and Resource, Shanxi University, Taiyuan 030006, China; 2. Taiyuan Environmental Monitoring Central Station, Taiyuan 030002, China). *China Environmental Science*, 2013, 33(4): 599~604

**Abstract:** Aimed to understand the property of water-soluble fraction of PM<sub>2.5</sub> in Taiyuan City, 56 PM<sub>2.5</sub> samples were collected with high volume particulate sampler from December 2011 to January 2012 in Taiyuan city. The PM<sub>2.5</sub> concentrations were determined gravimetrically and the water-soluble fraction of TOC and TN were measured using TOC/TN analyzer. The PM<sub>2.5</sub> concentrations during heating period in Taiyuan were found higher than these in Beijing, Tianjin, Guangzhou, Nanjing and Xi'an. The regression analysis showed that PM<sub>2.5</sub> concentration was negatively correlated to wind speed ( $r=-0.4693, \alpha=0.05$ ), positively to humidity ( $r=0.4092, \alpha=0.05$ ), but without significant relationship to temperature. No prominent pattern was observed in day-night PM<sub>2.5</sub> fluctuations during the sampling period. The hydrophilic fraction of TOC accounted for 13.2%~57.7% of total PM<sub>2.5</sub>, and had significant correlation to NO<sub>3</sub><sup>-</sup> and SO<sub>4</sub><sup>2-</sup> ions.

**Key words:** PM<sub>2.5</sub>; water-soluble TOC; NO<sub>3</sub><sup>-</sup> and SO<sub>4</sub><sup>2-</sup>; meteorological factors

在全球气候变化的大背景下,城市群区域气溶胶污染日趋严重,灰霾现象迅速增加,而灰霾本质上就是细粒子污染<sup>[1]</sup>。据报道,颗粒物质量浓度与能见度变化总体呈负相关,小粒径颗粒对能见度的影响作用明显,随着能见度的降低,小粒径颗粒与大粒径颗粒浓度的比值明显增加<sup>[2]</sup>。同时,有研究表明通过呼吸进入人体的空气中的微量污染物,要比饮用含有等量污染物的水和食物有更大的潜在危害<sup>[3]</sup>。相比于PM<sub>10</sub>,细粒子PM<sub>2.5</sub>对人体健康的危害更大<sup>[4]</sup>。

目前国内外关于颗粒物中有机物的研究较多<sup>[5]</sup>,但是关于水溶性有机物的研究还不多见。有研究表明,水溶性有机物约占PM<sub>2.5</sub>有机物总量的20%~80%<sup>[6]</sup>,水溶性有机物可以显著地改变大气颗粒物的吸湿性,影响颗粒物的粒径分布和云凝结核(cloud condensation nuclei, CCN)活性,改变成云过程,进而影响区域和全球气候,降低

收稿日期: 2012-09-15

基金项目: 国家自然科学基金资助项目(30740037)

\* 责任作者, 教授, xiejf@sxu.edu.cn

城市大气能见度<sup>[7-9]</sup>.也有研究者对大气气溶胶中的水溶性有机物的种类、浓度和来源开展了研究,但是由于分析技术手段的限制,检测到的水溶性有机物仅仅局限于小分子羧酸等成分,还不能全面反映水溶性有机物的化学特征<sup>[10]</sup>.所以研究气溶胶中水溶性有机物的污染特征有着重要的意义.

太原市是我国重要的煤炭重化工基地,市区东、西、北三面环山,强逆温天气在冬季采暖季节出现频率高,灰霾天气现象比较多见,因而大气颗粒物污染和其以煤炭为主的能源结构、地理位置、气象条件有密切的关系.目前,关于太原市大气气溶胶中水溶性组分的研究还很少,且主要集中在大粒径颗粒物以及无机离子方面.本文对太原市冬季采暖期细粒子PM<sub>2.5</sub>浓度变化及其中水溶性组分总碳(TC)、总有机碳(TOC)、无机碳(IC)、总氮(TN)、无机阴离子SO<sub>4</sub><sup>2-</sup>和NO<sub>3</sub><sup>-</sup>进行了研究,以期为灰霾天气的治理和控制大气污染提供基础数据资料.

## 1 实验部分

### 1.1 样品采集

2011年12月~2012年1月对太原市PM<sub>2.5</sub>进行了采样.采样所用仪器为大流量PM<sub>2.5</sub>颗粒物采样器(美国 Thermal Anderson 公司),流速1.13m<sup>3</sup>/min.采样膜为石英纤维滤膜(美国 PALL 公司, 8×10in).采样点设在山西大学环境与资源学院楼顶(37°47.713'N,112°34.882'E,海拔 802m),周围是太原市城中村改造居民区、交通繁忙区和几所学校(学校内部设有用于供暖的大型锅炉).每天分白天(09:00~21:00)和夜间(21:00~次日09:00)进行两次连续采样,采样期间共获得白天和夜间样品各28个,样品总计56个.采样之前,首先将滤膜在400℃马弗炉内烘2h,然后置于干燥器中进行干燥平衡,用万分之一天平称重至恒重,记录其平衡后的重量.采样完之后将富集了样品的滤膜于干燥器平衡,称重.然后将滤膜分割成八份,每份对折后用铝箔纸封包,于-18℃保存备用.根据采样前后滤膜的质量差和采样体积得到气溶胶的质量浓度.

### 1.2 水溶性有机碳提取

将1/8滤膜剪成碎条状,装入具塞棕色瓶中,加入50mL超纯水(电阻率=18.25MΩ),于超声波振荡仪中冰浴提取60min,静置,用0.45μm微孔滤膜过滤,滤液转移至具塞试管中,待分析.

### 1.3 分析测定方法

采用TOC/TN分析仪(Multi N/C 3100,德国 Analytik Jena 分析仪器股份公司)进行TOC和TN的测定.TOC值通过TC值减去IC值得到.TC测定过程是将样品中的所有有机和无机碳物种高温催化氧化生成CO<sub>2</sub>,用NDIR进行检测;IC测定方法是在酸性条件下,将样品中的无机碳溶解生成CO<sub>2</sub>,用NDIR进行检测.用离子色谱仪(瑞士万通883)测定NO<sub>3</sub><sup>-</sup>和SO<sub>4</sub><sup>2-</sup>等离子的浓度大小.

## 2 结果与讨论

### 2.1 最佳提取时间的确定

PM<sub>2.5</sub>水溶性有机碳超声提取时间分别选择了10,20,30,40,50,60,90,120min,对水溶性提取液TOC的浓度大小进行了测定.结果如图1所示.

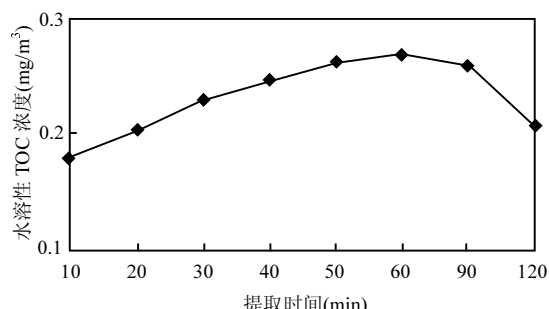


图1 水溶性TOC浓度随提取时间的变化

Fig.1 The relationship between the concentration of TOC and extraction time

从图1可以看出,水溶性TOC浓度随提取时间的延长有升高趋势,但当提取时间超过60min后TOC浓度开始下降,分析其原因可能是随着提取时间增加,冰浴中的冰逐渐融化导致提取液温度升高,样品中易挥发的有机物进入气相挥发,从而60min后TOC浓度开始下降.因此确定本实验的最佳超声提取时间为60min.

## 2.2 PM<sub>2.5</sub> 及各水溶性组分的浓度分析

采样期间 PM<sub>2.5</sub> 的日均质量浓度为  $(334.47 \pm 97.93) \mu\text{g}/\text{m}^3$ , 白天平均质量浓度为  $(351.74 \pm 119.68) \mu\text{g}/\text{m}^3$ , 夜间平均质量浓度为  $(317.20 \pm 122.05) \mu\text{g}/\text{m}^3$ . 与我国《环境空气质量标准》第三次修改意见稿新增设的 PM<sub>2.5</sub> 二级标准(24 小时平均浓度限值为  $75 \mu\text{g}/\text{m}^3$ )相比, 超标率为 100%. 与其他城市如北京( $94.24 \mu\text{g}/\text{m}^3$ )<sup>[11]</sup>、天津( $223 \mu\text{g}/\text{m}^3$ )<sup>[12]</sup>、广州( $81.2 \mu\text{g}/\text{m}^3$ )<sup>[13]</sup>、南京( $78 \mu\text{g}/\text{m}^3$ )<sup>[14]</sup>、西安( $288.7 \mu\text{g}/\text{m}^3$ )<sup>[15]</sup>等冬季不同时间的 PM<sub>2.5</sub> 平均质量浓度的测定结果相比, 太原市的冬季 PM<sub>2.5</sub> 平均质量浓度均高于这些城市. 表明采样期间, 太原市 PM<sub>2.5</sub> 污染极为严重. 采样期间几个主要测定项目的浓度逐日变化情况如图 2 所示.

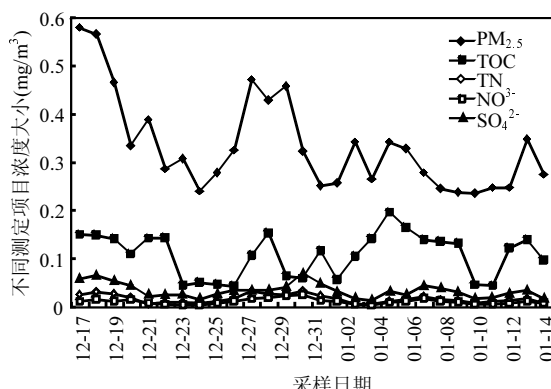


图 2 采样期间各主要测定项目浓度逐日变化

Fig.2 The daily concentration variation of PM<sub>2.5</sub> and every components

采样期间, PM<sub>2.5</sub> 中水溶性 TOC 的日均质量浓度为  $(109.16 \pm 45.05) \mu\text{g}/\text{m}^3$ , 其含量占 PM<sub>2.5</sub> 的质量百分比为 13.2%~57.7%, 平均值为 33.75%; 而 IC 含量占 PM<sub>2.5</sub> 的平均百分比仅为 0.03%, 表明 PM<sub>2.5</sub> 水溶性 TC 主要为 TOC, 因此后续讨论主要以水溶性 TOC 为主. 水溶性 TC 主要以 TOC 的形态存在. 大气环境中的 TOC 主要以干、湿沉降形式去除, 或挥发到对流层, 其含量大小对人类健康的影响深远<sup>[16~17]</sup>, 因此, 进一步研究大气 PM<sub>2.5</sub> 中 TOC 的组成和浓度大小, 及其对健康的影响显得尤为重要.

水溶性无机离子是 PM<sub>2.5</sub> 的重要组分, 直接影响气溶胶的酸碱度、吸湿性和成核能力<sup>[18]</sup>. 太

原市冬季采暖期 PM<sub>2.5</sub> 中水溶性 TN 的日均质量浓度为  $(17.70 \pm 8.38) \mu\text{g}/\text{m}^3$ , 其含量占 PM<sub>2.5</sub> 的质量百分比为 1.78%~10.31%, 平均百分比为 5.30%.  $\text{NO}_3^-$  的日均质量浓度为  $(12.06 \pm 5.64) \mu\text{g}/\text{m}^3$ , 占 PM<sub>2.5</sub> 的质量百分比为 1.60%~7.99%, 平均百分比为 3.66%;  $\text{SO}_4^{2-}$  的日均质量浓度为  $(35.12 \pm 14.88) \mu\text{g}/\text{m}^3$ , 占 PM<sub>2.5</sub> 质量的 5.49%~21.77%, 平均百分比为 10.66%; 呈现出 PM<sub>2.5</sub> 中  $\text{SO}_4^{2-}$  含量高于  $\text{NO}_3^-$  的特点.  $\text{SO}_4^{2-}$  和  $\text{NO}_3^-$  也是北京市大气 PM<sub>2.5</sub> 中的主要水溶性组分, 并且在 PM<sub>2.5</sub> 中  $\text{SO}_4^{2-}$  (10.6%) 比重比  $\text{NO}_3^-$  (7.4%) 大<sup>[19]</sup>, 这与太原市的污染特征很相似, 对进一步分析太原市 PM<sub>2.5</sub> 污染来源很有指导意义.

本研究采样期间 TOC(33.75%)、TN(5.30%)、 $\text{NO}_3^-$ (3.66%) 和  $\text{SO}_4^{2-}$ (10.66%) 总均值占 PM<sub>2.5</sub> 质量浓度比例为 53.37%. 由上述分析以及图 2 可知, 各水溶性组分在 PM<sub>2.5</sub> 中所占比重大小顺序为: TOC> $\text{SO}_4^{2-}>\text{TN}>\text{NO}_3^-$ .

## 2.3 PM<sub>2.5</sub> 及各水溶性组分的相关性分析

对 PM<sub>2.5</sub> 及各水溶性组分的日均质量浓度进行相关性分析, 结果如表 1 所示.

表 1 PM<sub>2.5</sub> 及各水溶性组分之间的相关系数

Table 1 The correlation coefficients between PM<sub>2.5</sub> and every water-soluble components

指标	指标				
	PM <sub>2.5</sub>	TOC	TN	$\text{NO}_3^-$	$\text{SO}_4^{2-}$
PM <sub>2.5</sub>	1.00000	0.34505	0.62641**	0.44961*	0.57071**
TOC		1.00000	0.13791	0.11643	0.20298
TN			1.00000	0.86753**	0.84788**
$\text{NO}_3^-$				1.00000	0.74292**
$\text{SO}_4^{2-}$					1.00000

注:\*\*在 0.01 水平上显著相关; \*在 0.05 水平上显著相关, 下同

查相关系数临界值表<sup>[20]</sup>, 在自变量个数  $k=1$ , 自由度  $f=n-2=26$  的情况下, 可知不同显著性水平下相关系数临界值分别为  $r_{0.10}=0.31722$ ,  $r_{0.05}=0.37389$ ,  $r_{0.01}=0.47851$ . 对比表 1, 可知 PM<sub>2.5</sub> 与 TN、 $\text{SO}_4^{2-}$ , TN 与  $\text{SO}_4^{2-}$ 、 $\text{NO}_3^-$ ,  $\text{SO}_4^{2-}$  和  $\text{NO}_3^-$  之间均在  $\alpha=0.01$  显著性水平上相关; PM<sub>2.5</sub> 与  $\text{NO}_3^-$  之间在  $\alpha=0.05$  显著性水平上相关; PM<sub>2.5</sub> 与 TOC 在  $\alpha=0.10$  显著性水平上相关.

城市大气颗粒物中的  $\text{SO}_4^{2-}$  主要来自于  $\text{SO}_2$  转化过程,  $\text{SO}_2$  主要来源为化石燃料的燃烧, 因此在采暖期的排放量远高于非采暖期; 气溶胶中的  $\text{NO}_3^-$  主要来自游离大气中的  $\text{NO}_x$  在大气中氧化形成的  $\text{HNO}_3$  与  $\text{NH}_3$  反应生成的  $\text{NH}_4\text{NO}_3$  离子, 而  $\text{NO}_x$  主要来自机动车排放和燃煤;  $\text{SO}_4^{2-}$  和  $\text{NO}_3^-$  是二次气溶胶主要的离子成分<sup>[21]</sup>。它们的含量在一定程度上反应了二次气溶胶污染的程度。 $\text{SO}_4^{2-}$  和  $\text{NO}_3^-$  之间具有很好的相关性( $r=0.74292$ ), 表明它们具有相同的来源。而且二者占  $\text{PM}_{2.5}$  比重比较大, 说明汽车尾气以及冬季燃煤对大气气溶胶的污染均有较

高的贡献率, 这反映出了太原市二次气溶胶污染比较严重。

#### 2.4 气象要素对 $\text{PM}_{2.5}$ 及各水溶性组分的影响

在污染源排放污染物强度相对稳定的情况下, 气象条件决定了大气对污染物的输送和扩散能力<sup>[22]</sup>。相对湿度、风速、温度层结等气象因子都是影响气溶胶浓度变化的重要因素<sup>[23-24]</sup>。文中所用到的气象资料来源于太原市气象观测站。

采样期间, 太原市城区夜间温度比白天温度低、湿度比白天大, 风速昼夜变化不明显。 $\text{PM}_{2.5}$  日均质量浓度与太原市城区气象参数变化的相关分析结果如图 3 所示。

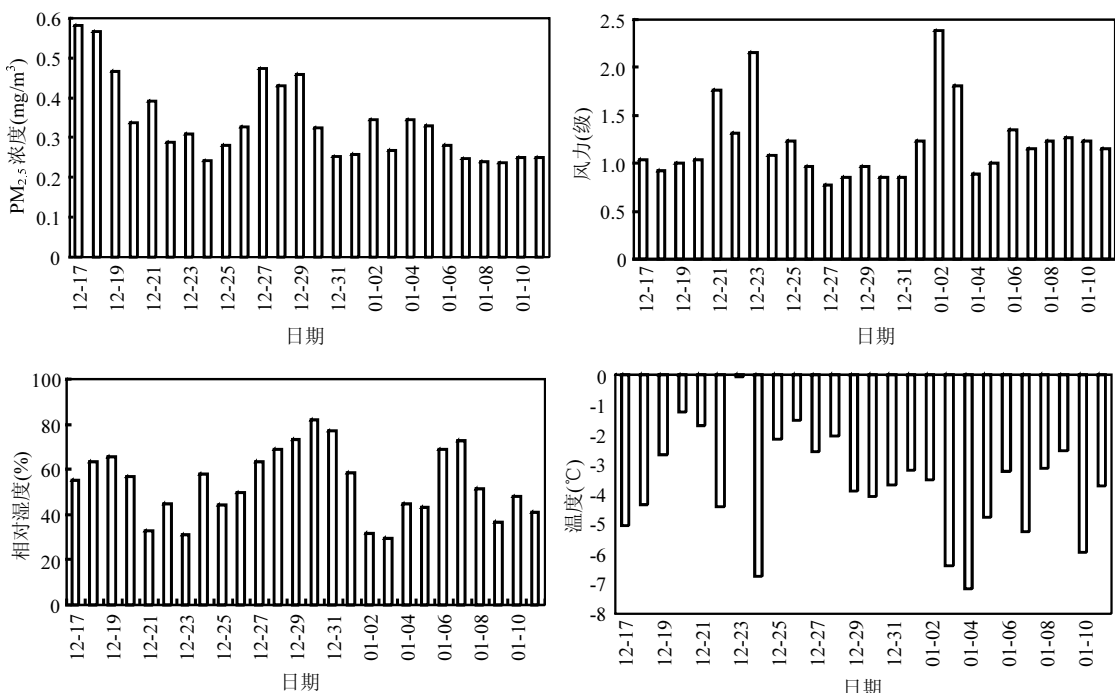


图 3 气象要素与  $\text{PM}_{2.5}$  浓度随时间的变化

Fig.3 Change of meteorological factors and the concentration of  $\text{PM}_{2.5}$

从图中可以看出, 当  $\text{PM}_{2.5}$  浓度呈下降趋势的时候, 风速变化呈一定程度的上升; 反之,  $\text{PM}_{2.5}$  浓度升高的时候, 风速大小呈下降趋势; 风速大时, 污染物稀释能力强, 浓度低。相对湿度与  $\text{PM}_{2.5}$  的变化趋势一致, 反映出  $\text{PM}_{2.5}$  与湿度之间的正相关关系。而温度与  $\text{PM}_{2.5}$  浓度变化关系不明显。

对各主要气象要素如相对湿度、温度和风速

大小与  $\text{PM}_{2.5}$ 、TOC、TN、 $\text{NO}_3^-$ 、 $\text{SO}_4^{2-}$  浓度进行 Pearson 相关性分析, 结果如表 2 所示。

对表 2 中相关系数进行统计学分析可知, 相对湿度与  $\text{PM}_{2.5}$  在  $\alpha=0.05$  显著性水平上正相关, 与 TN、 $\text{SO}_4^{2-}$  和  $\text{NO}_3^-$  均在  $\alpha=0.01$  显著性水平上正相关。空气相对湿度高, 颗粒物表面对气态污染物更容易吸附, 使得  $\text{NH}_3$ 、 $\text{NO}_x$ 、 $\text{HNO}_3$  等污染气

体易于吸收或吸附在颗粒表面<sup>[25]</sup>,使得水溶性 TN 浓度升高。在大气中能够氧化 SO<sub>2</sub> 和 NO<sub>x</sub> 的氧化剂中 OH· 对 SO<sub>2</sub> 和 NO<sub>x</sub> 的氧化具有较大的意义。而湿度越大,水分子中 OH· 浓度越高,从而促进硫酸根离子和硝酸根离子的生成。湿度下降时,易形成光化学烟雾,湿度上升时形成 PM<sub>2.5</sub> 的灰霾天气<sup>[26]</sup>。

表 2 主要气象要素与 PM<sub>2.5</sub> 及水溶性组分浓度的相关系数

Table 2 Correlation coefficients between meteorological factors and the concentrations of PM<sub>2.5</sub> and every water-soluble components

气象要素	各水溶性组分				
	PM <sub>2.5</sub>	TOC	TN	NO <sub>3</sub> <sup>-</sup>	SO <sub>4</sub> <sup>2-</sup>
相对湿度	0.4092	0.1189	0.8069	0.8067	0.7339
温度	0.0916	-0.3832 <sup>*</sup>	0.1466	0.1553	0.0823
风速	-0.4693 <sup>*</sup>	-0.1746	-0.6789 <sup>**</sup>	-0.6133 <sup>*</sup>	-0.5467 <sup>**</sup>

风速与 PM<sub>2.5</sub> 及各水溶性组分全部呈负相关关系,与 PM<sub>2.5</sub> 在  $\alpha=0.05$  显著性水平上负相关;与 TN、SO<sub>4</sub><sup>2-</sup> 和 NO<sub>3</sub><sup>-</sup> 在  $\alpha=0.01$  显著性水平上负相关。因为风对污染物的扩散有两个作用:一是整体输送作用,二是冲淡稀释作用,即风速增大,降低单位体积内污染物的含量会降低。

温度与 TOC 在  $\alpha=0.05$  显著性水平上呈负相关,即温度升高 TOC 浓度下降,可能是温度升高不利于易挥发有机物在颗粒物上的吸附所致。温度与其他组分之间的相关关系不明显。

### 3.5 昼夜 PM<sub>2.5</sub> 污染状况比较

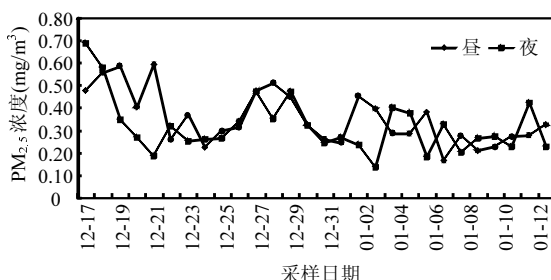


图 4 采样期间 PM<sub>2.5</sub> 的夜间和白天平均浓度随时间的变化

Fig.4 Comparison of the average concentration of PM<sub>2.5</sub> in day and night

由图 4 可见,采样期间 PM<sub>2.5</sub> 的最高浓度出现在 12 月 17 日夜间,为 684.53 μg/m<sup>3</sup>;最低浓度出现在 2012 年 1 月 3 日夜间,为 135.82 μg/m<sup>3</sup>。采样期间白天 PM<sub>2.5</sub> 平均质量浓度 (351.74±119.68) μg/m<sup>3</sup>, 夜间为 (317.20±122.05) μg/m<sup>3</sup>。

冬季采暖期所采得的 28 个样品中,14 个样品夜间浓度比白天浓度大,另外 14 个样品是白天浓度比夜间大,这可能与周围是交通主干道有关,白天人为活动频繁、汽车流量比夜间大,而夜间比白天供热量大从而产生更多的烟气。汽车尾气与夜间燃煤增加相互之间复杂的变化,造成局地污染现象复杂。太原市冬季采暖期间 PM<sub>2.5</sub> 浓度的昼夜变化规律不明显。

### 3 结论

3.1 对同一样品分别选择不同的超声提取时间,进行水溶性 TOC 提取效率研究,确定最佳超声提取时间为 60min。

3.2 太原市冬季气溶胶污染严重,与其他城市如北京、天津、广州、南京、西安等采暖期不同时间 PM<sub>2.5</sub> 平均质量浓度相比,发现太原市 PM<sub>2.5</sub> 污染最严重。其中水溶性 TC 对 PM<sub>2.5</sub> 贡献率最高,占 PM<sub>2.5</sub> 浓度的 13.33%~57.72%,TC 中的碳主要以 TOC 形式存在,而 IC 很微量。另外无机离子 SO<sub>4</sub><sup>2-</sup> 和 NO<sub>3</sub><sup>-</sup> 也占有较大的比重;太原市二次气溶胶污染比较严重。各水溶性组分在 PM<sub>2.5</sub> 中所占比重大小顺序为:TOC>SO<sub>4</sub><sup>2-</sup>>TN>NO<sub>3</sub><sup>-</sup>。

3.3 风速与 PM<sub>2.5</sub> 浓度及各水溶性组分浓度呈一定程度的负相关。相对湿度与 PM<sub>2.5</sub> 浓度的变化趋势一致,二者之间呈正相关关系。而温度与其浓度变化关系不明显。

3.4 采样期间,太原市 PM<sub>2.5</sub> 浓度大小昼夜变化规律不明显,这可能与污染源排放、局地地理位置以及气候等因素比较复杂有关系。

### 参考文献:

- 吴 兑.近十年中国灰霾天气研究综述 [J]. 环境科学学报, 2012,32(2):257~269.
- 边 海,韩素芹,张裕芬,等.天津市大气能见度与颗粒物污染的关系 [J]. 中国环境科学, 2012,32(3):406~410.
- Balducci Catia, Perilli Mattia, Romagnoli Paola, et al. New

- developments on emerging organic pollutants in the atmosphere [J]. Environ. Sci. Pollut. Res., 2012,19:1875–1884.
- [4] 谢 鹏,刘晓云,刘兆荣.我人群大气颗粒物污染暴露-反应关系的研究 [J]. 中国环境科学, 2009,29(10):1034–1040.
- [5] 霍 静,李彭辉,韩 斌,等.天津秋冬季PM<sub>2.5</sub>碳组分化学特征与来源分析 [J]. 中国环境科学, 2011,31(12):1937–194.
- [6] Saxena P, Hildemann L M. Water-soluble organics in atmospheric particles:a critical review of the literature and application of thermodynamics to identify candidate compounds [J]. Journal of Atmospheric Chemistry, 1996,24:57–109.
- [7] Saxena P, Hildemann L M, Mc Murry P H, et al. Organics alter hygroscopic behavior of atmospheric particles [J]. Journal of Geophysical Research, 1995,100:18755–18770.
- [8] Cruz C N, Pandis S N. A study of the ability of pure secondary organic aerosol to act as cloud condensation nuclei [J]. Atmospheric Environment, 1997,31:220–2214.
- [9] Malm W C. The effects of models of aerosol hygroscopicity on the apportionment of extinction [J]. Atmospheric Environment, 1997,31:1965–1976.
- [10] 邓利群,伦小秀,张 逸,等.气溶胶中水溶性有机物的分析方法进展 [J]. 安全与环境学报, 2009,2:112–115.
- [11] 邓利群,李 红,柴发合,等.北京市东北城区冬季大气细粒子与相关气体污染特征 [J]. 中国环境科学, 2010,30(7):954–961.
- [12] 李伟芳,白志鹏,魏敬东,等.天津冬季大气中PM<sub>2.5</sub>及其主要组分的污染特征 [J]. 中国环境科学, 2008,28(6):481–486.
- [13] 朱李华,陶 俊,张仁健,等.冬夏季广州城区碳气溶胶特征及其与O<sub>3</sub>和气象条件的关联 [J]. 环境科学学报, 2010,30(10):1942–1949.
- [14] 魏玉香,银 燕,杨卫芬,等.南京地区PM<sub>2.5</sub>污染特征及其影响因素分析 [J]. 环境科学与管理, 2009,34(9):29–34.
- [15] 刘随心,曹军骥,安芷生.西安大气细粒子(PM<sub>2.5</sub>)质量浓度变化特征及其影响因素 [J]. 过程工程学报, 2009,9(2):231–236.
- [16] 王 荟,王格慧,高士祥,等.南京市大气颗粒物春季污染的特征 [J]. 中国环境科学, 2003,23(1):55–59.
- [17] Souza S R, Vasconcellos P C, Carvalho L R F, et al. Low molecular weight carboxylic acids in an urban atmosphere:Winter measurements in São Paulo City, Brazil [J]. Atmospheric Environment, 1999,33(16):2563–2574.
- [18] 李伟芳,白志鹏,魏静东,等.天津冬季大气中PM<sub>2.5</sub>及其主要组分的污染特征 [J]. 中国环境科学, 2008,28(6):481–486.
- [19] 余学春,贺克斌,马永亮,等.北京市PM<sub>2.5</sub>水溶性有机物污染特征 [J]. 中国环境科学, 2004,24(1):53–57.
- [20] 赵 颖.应用数理统计 [M]. 北京:北京理工大学出版社, 2008:343.
- [21] 沈振兴,霍宗权,韩月梅,等.采暖期和非采暖期西安大气颗粒物中水溶性组分的化学特征 [J]. 高原气象, 2009,28(1):151–158.
- [22] 韩爱梅.太原市大气污染气象条件分析 [J]. 太原科技, 2005, 4:26–28.
- [23] 吴 兑,吴 晟,李 菲,等.粗粒子气溶胶远距离输送造成华南严重空气污染的分析 [J]. 中国环境科学, 2011,31(4):540–545.
- [24] 顾凯华,樊曙光,黄红丽,等.南京冬季雾天颗粒物中PAHs分布与气象条件的关系 [J]. 中国环境科学, 2011,31(8):1233–1240.
- [25] Biswas K F, Ghauri B M, Husain L. Gaseous and aerosol pollutants during fog and clear episodes in South Asian urban atmosphere [J]. Atmospheric Environment, 2008,42(33):7775–7785.
- [26] 凌 琦.酸雨的形成机制研究进展 [J]. 安徽建筑工业学院学报(自然科学版), 1995,3(1):55–58.

**作者简介:** 贾小花(1988-),女,山西吕梁人,山西大学环境与资源学院硕士研究生,主要研究方向是环境化学。

## 《中国环境科学》获评“2012 中国最具国际影响力学术期刊”

2012年12月,《中国环境科学》被评为“2012 中国最具国际影响力学术期刊”。

“中国最具国际影响力学术期刊”是中国科学文献计量研究中心、清华大学图书馆依据《CAJ 国际引证报告》,按2011年度中国学术期刊被SCI期刊、SSCI期刊引用的总被引频次排序并经40多位期刊界专家审议,遴选出的TOP5%期刊。获评“中国最具国际影响力学术期刊”的科技类期刊共156种。统计分析结果表明,从定量分析的角度看,“中国最具国际影响力学术期刊”的国际影响力已经达到国际中等以上水平,跨入了国际品牌学术期刊行列。